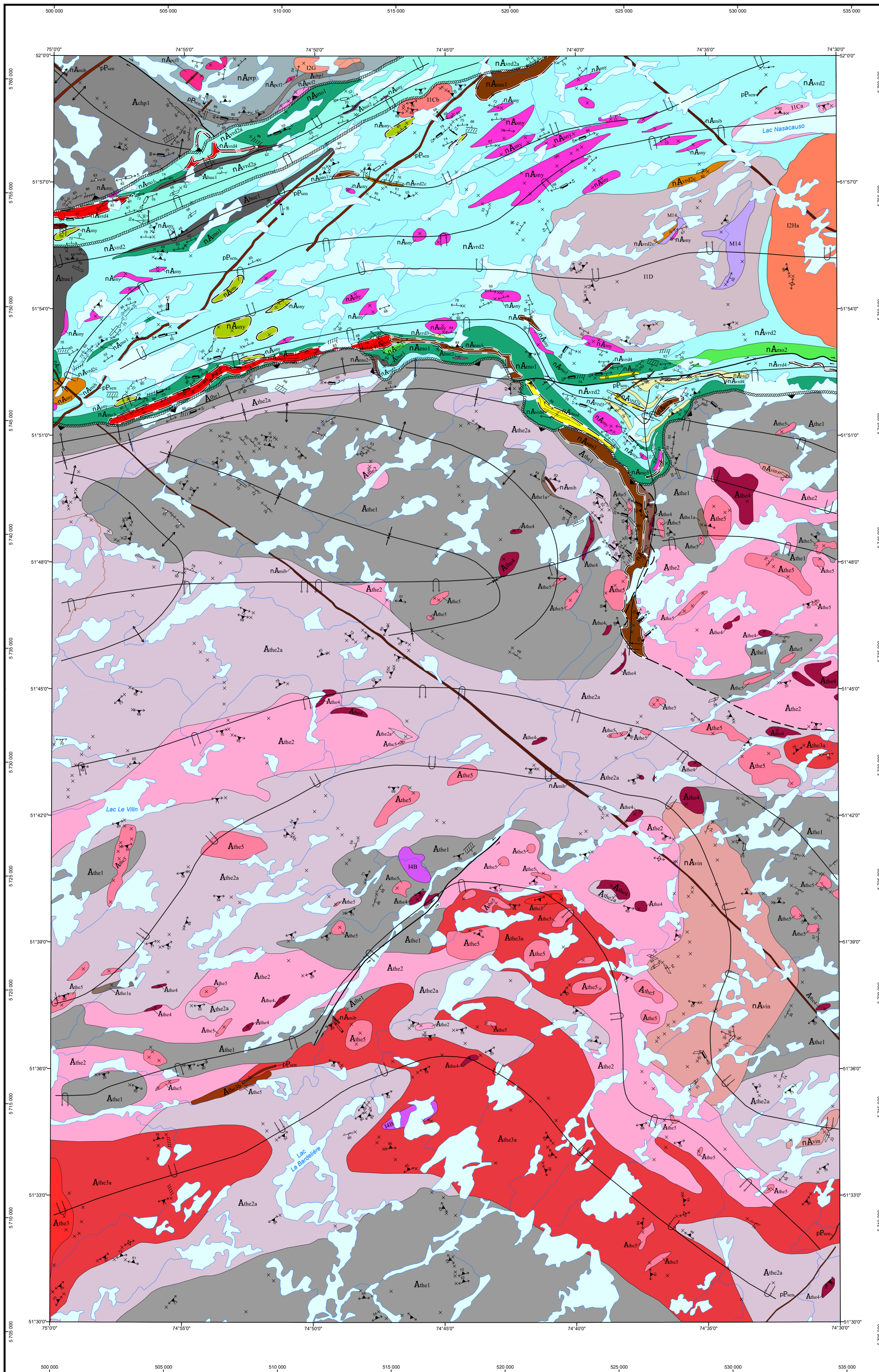


Géologie de la région du lac Le Vilin, sous-provinces de La Grande et d'Opatika, Eeyou Istchee Baie-James, Québec, Canada



LÉGENDE STRATIGRAPHIQUE

**PROVINCE DU SUPÉRIEUR
PALÉOPROTÉROZOÏQUE**
Dykes de Senneterre (2214,3 à 212,4 Ma, Buchan et al., 1993; 2216-8 à 4 Ma, Mortenson dans Buchan et al., 1996; 2221-24 Ma, Davis et al., 2016)

NÉOARCHÉEN
Essaim de dykes de Mistassini (2515 à 23 Ma, Hamilton, 2009; 2503 à 22 Ma, Davis et al., 2018)
Diabase (NW-SE) : gabbroïte à oléine, localement porphyrique à plagioclase

SOUS-PROVINCE DE LA GRANDE
Suite de Senay (2642 à 220 Ma, David, 2020)
nAmdy1 Pegmatite granitique blanche à biotite ± grenat ± muscovite ± tourmaline

Suite intrusive de Pacifique
nAmdc2 Granite pegmatite blanc à tourmaline ± grenat
nAmdc1 Granite blanc à grenat ± muscovite ± biotite

Formation de Prosper
nAmdp Paragneiss dérivé de wacke stratifié à biotite-hornblende, variablement migmatitisé

Formation de Voldyde
nAmdv1 Formation de fer à oxydes et formation de fer à silicates
nAmdv3 Quartzite
nAmdv2 Paragneiss à biotite ± grenat dérivé de wacke ± arénite

Suite mafique-ultramafique de Nascausou
nAmdn1 Métatexite dérivée de paragneiss et paragneiss migmatitisé
nAmdn2 Paragneiss nodulaire à biotite grenat ± cordiérite ± sillimanite dérivé de wacke ± arénite

Groupe du Lac des Montagnes (2723,2 à 23,9 Ma, 2720,5 à 22,5 Ma, 2706,4 à 26,7 Ma, David, 2020)
nAmdm1 Amphibolite dérivée de basalte komatiitique
nAmdm2 Formation de fer à oxydes et formation de fer à silicates
nAmdm3 Roche volcanoclastique felsique, localement intermédiaire
nAmdm4 Roche volcanique intermédiaire
nAmdm5 Basalte amphibolitisé, niveaux de roches volcaniques ultramafiques
nAmdm6 Roche volcanique ultramafique

ARCHÉEN
Complexe de la Hutte (2804,6 à 25,1 Ma, 2790,4 à 25,4 Ma, David, 2020)
Athc2 Tonalite à biotite ± hornblende, foliée
Athc1 Gneiss tonalitique, localement granitique; granodiorite par endroits

SOUS-PROVINCE D'OPATICA
NÉOARCHÉEN
Complexe de Champion (2889 à 14 Ma, 2816 à 19 Ma, Bynoe, 2014; David, 2019)
Athc1 Gneiss tonalitique, localement granitique

Suite migmatitique de Le Vilin
nAmdlv1 Diatexite et métatexite dérivées de paragneiss

ARCHÉEN
Complexe de Théodat (2833,5 à 23,0 Ma, David, 2020)
Athc5 Pegmatite granitique
Athc4 Granite à biotite
Athc3 Granodiorite porphyrique
Athc2 Diorite et diorite quartzifère, moyennement à grossièrement grenues
Athc1a Monzodiorite, monzodiorite quartzifère, monzodiorite quartzifère, granodiorite, localement porphyroïdes; proportion mineure de tonalite
Athc2a Granodiorite foliée avec enclaves de tonalite
Athc2b Tonalite foliée à biotite ± hornblende
Athc1 Gneiss tonalitique et tonalite gneissique
Athc1a Gneiss dioritique

LÉGENDE LITHOLOGIQUE

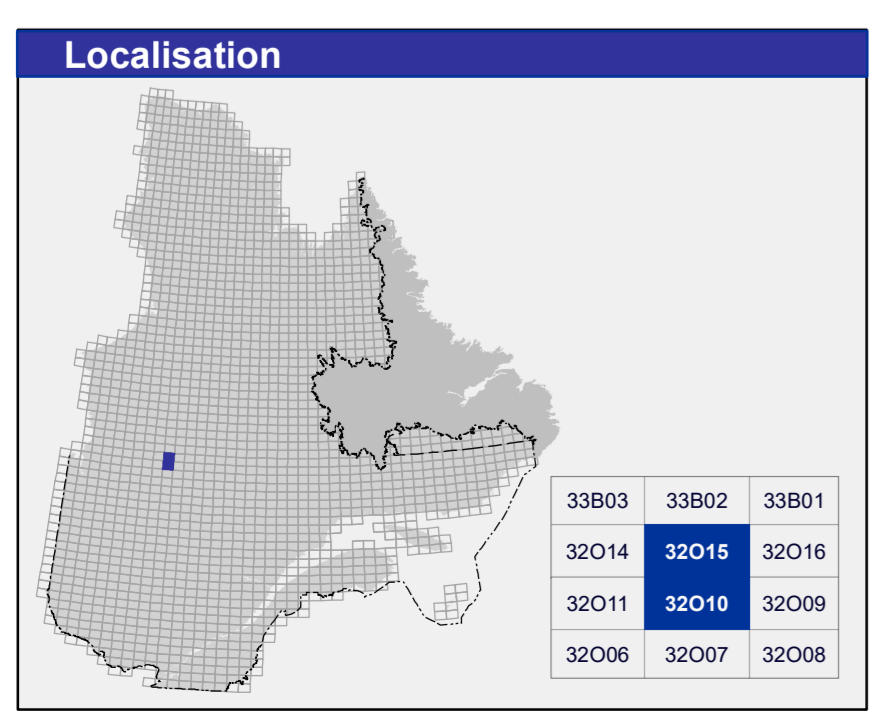
NÉOARCHÉEN
IIc1a Granodiorite à biotite-hornblende à magnétite; injections de granite rose à magnétite
IIc1b Granodiorite porphyroïde, foliée; injections de granite rose à magnétite
IID Tonalite à biotite-hornblende
IIG Monzodiorite quartzifère
I2Ha Monzodiorite et monzodiorite quartzifère
I4B Pyroxénite
M14 Roche calcosilicatée

ZONE FAVORABLE À L'EXPLORATION MINÉRIÈRE
Lithium
Nickel
Or
Zinc

INDICE ET GÎTE
Zinc

Cette carte géologique en format PDF comporte des calques (ou couches) qui regroupent les divers éléments du document (zones géologiques, hydrographie, affleurements de gisements, etc.). Ces calques peuvent être affichés ou masqués dans la section « Calques » du « Volet du navigateur » d'Adobe Acrobat Reader ©.

Les symboles et abréviations utilisés sur cette carte sont décrits dans la publication DV 2014-08 du ministère de l'Énergie et des Ressources naturelles.



Localisation

Métadonnées
Surface de référence géodésique : Ellipsoïde GRS 80
Système de référence géodésique : NAD 83 compatible avec le système mondial WGS 84
Projection cartographique : Mercator transverse universelle (MTU), fuseau 18
Longitude d'origine : 74°45'
Latitude d'origine : 0°

Sources
33803 33802 33801
32014 32015 32016
32011 32010 32009
32006 32007 32008

Données
Base de données topographiques et administratives (BDTA 250k)

Organisme
Ministère de l'Énergie et des Ressources naturelles

Réalisation
Daniel Bandyayera et Emmanuel Caron-Côté (2021)

Références
Bohme, J.H. (1972) - DP 110
Lalancette, J., Richard, L.-P., et al. (2012) - GM 66738
Picard, M. (1979) - GM 37016
Richard, L.-P., Bédard, F. (2015) - GM 71356
Tremblay, P., Lalancette, J. (2013) - GM 67534

Assistance technique : Karine Allard

Production : Ministère de l'Énergie et des Ressources naturelles
Direction générale de Géologie Québec

Diffusion : Ministère de l'Énergie et des Ressources naturelles
Direction de l'information géologique et de la promotion

Le présent document n'a aucune portée légale
© Gouvernement du Québec, 3^e trimestre 2022

BG 2022-03-C01

Carte du Bulletin géologique : <https://gq.mines.gouv.qc.ca/bulletins-geologiques/lac-le-vilin/>

Pour obtenir les données les plus récentes concernant cette région, nous vous suggérons de consulter les produits géomatiques du Système d'information géométrique du Québec (SIGÉOM).

Bulletin géologique

SAGÉOM
Système d'information géométrique du Québec

Énergie et Ressources naturelles
Québec